

斜面内に埋設された基礎の引揚抵抗力に関する研究

京都大学工学部 正員 松尾 稔

" " " 田河 勝一

まえがき 基礎の引揚抵抗力に関して数々実験的研究を継続しており、すでに理論的な考察に基づく半経験的な支持の算定式を提案し、砂や粘性を有する土に対して式の妥当性を検討してきた。従来は水平地表面を有する地盤に埋設された基礎について、理論的考察および実験的検証を行なってきたが、送電用鉄塔の場合地表面が斜面である地盤に基礎が埋設されることも多く、また同時に基礎に作用する引揚りも風圧や加線張力などの複雑な力の合力として、斜上方方向に作用する場合がほとんどである。本報告は斜面内に基礎を埋設し、主として斜上方引揚力と加えてときの基礎の挙動や土の抵抗などを実験的に検討した結果の一部である。

実験方法 実験は2m×2m×1.2mの土槽に関東ロームを充てんし、図-1で示すような斜面内に基礎を埋設して行なった。斜面こう配は0°, 5°, 10°, 15°, 20°に変化させ、斜上方引揚力の鉛直からの傾斜角θAあるいはθBはともに0°, 10°, 20°, 30°に変化させた。使用した基礎体は床板直徑24cmの円形床板基礎であり、埋戻し深さは30cmあるいは40cmとした。埋戻しはまき厚10cmごとに、ていねいに密固めながら行なった。そのときの単位体積重量は1.1t/m³であり、実験中の含水比は98~100%であった。試験は定荷重式で行ない、従前の試験同様1荷重段階4分載荷とした。

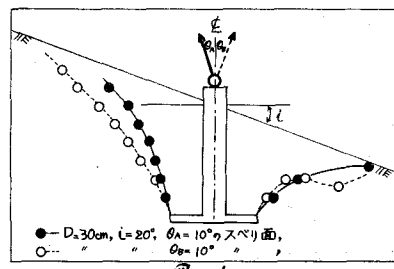


図-1

すべり面について 図-1に試験後の掘削による中心断面上の実測すべり面の一例が示してある。図からわかるように、θB方向へ引揚力を加えたときのすべり面は、θA方向へ引揚力を加えたときのすべり面よりわずかに外側にあらわれた。それが一定のときのすべり面はθが20°, 30°になると、引揚力の作用方向の土は圧縮され反対側のみにすべり面が生じ、すべり面の位置はθ、その増加とともにわずかずつ外方に生じる傾向にあった。これは基礎が柱体部の中心附近を回転中心として、回転を生じながら抜け上げてくるためであろう。

限界引揚抵抗力について 実測された斜上方引揚力とRとし、これらの鉛直および水平分力をそれぞれR_{Ro}, R_{Hi0}とする

$$R = \sqrt{R_{Ro}^2 + R_{Hi0}^2} \quad (1)$$

であり、i, θは厳密には基礎体に生じる変位によって変化するわけであるが、その変化量は0~7%程度であるのでこれを無視し、i, θは試験中一定として計算および整理を行なった。図-2は縦軸にR、横軸にθをとり、埋戻し深さ30cm, 40cmの基礎をθA方向について、iをパラメータにしてプロットしたものである。図より明らかのように、i, θが増加したがって、限界引揚抵抗力Rは直線的に減少していく。埋戻し深さが30cmの場合 R_{Ro}/R_{Ro1} に対するiを同一とし

て比をとる) の値はその変化にかかわらず、 θ が 0° から $10^\circ, 20^\circ, 30^\circ$ と増加するにしたがって、 $10\sim20\%$, $20\sim30\%$, $30\sim40\%$ ほぼ直線的に減少し、埋戻し深さ 40cm の場合には $10\sim20\%$, $20\sim25\%$, $30\sim40\%$ 減少し、図-3 は横軸に θ ($= \tan^{-1} \frac{R_{\text{直}}}{R_{\text{00}}}$) をとり、縦軸に $R_{\text{直}}$ と水平地表面で鉛直引揚試験の場合の限界引揚抵抗力 R_{00} の上 $\frac{R_{\text{直}}}{R_{\text{00}}}$ をとつて描いたものである。この試験の結果では θ が 10° 増加すると R_{00} に対して、全抵抗率 R の鉛直分力は $10\sim15\%$ 程度減少し、また θ が 5° 増加すると 10% 程度減少していることがわかる。これらの値は斜面内に埋設された基礎が引揚力を受けるときに、従来の算定式で得ることのできる限界引揚抵抗力の何 % 程度を限界荷重として評価する必要があるかについての一々の目安を与える重要な結果である。

変位について 1 例として深さ 40cm , $i=10^\circ$ OA 方向に引揚した場合の $R_{\text{直}}$, R_{Hid} をそれぞれ鉛直変位、水平変位にたいしてプロットしたものが図-4 である。 $R_{\text{直}}$ - 鉛直変位関係の曲線形は θ の増加によってあまり変らず、破壊時の変位量にも大きな差は認められない。これにたいしてこの増加が水平変位におよぼす効果は顕著であり、破壊時の変位量もかなり異なる。また破壊時の水平変位量についての以上の傾向は OB 方向に引揚したときがより著しかった。以上の傾向はこの変位化に関係せず同様である。さて各荷重段階ごとに基礎の変位量と時間の関係を図示し、図における 1~4 分間の曲線を近似的に直線とみなし、変位の時間に対する増加の割合を各荷重段階についてプロットした 1 例が図-5 である。図よりごく終期の部分を除いてこれらの関係は一般に

2 つの折点を持つ近似的な直線で表わされる。限界引揚抵抗力と 2 折点荷重の関係をプロットしたものが図-6 である。折点荷重と限界引揚抵抗力の間には直線関係があり、図の場合折点荷重は限界引揚抵抗力の 50% に相当している。もちろんこの関係は一義的なものではなく、土質、土の締固めなどによって異なると考えられるが、 θ が一定のときもに関係せず両者の間に直線関係が存在することは基礎設計上重要な意味を有していると考えられる。

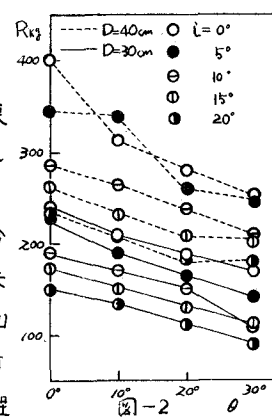


図-3

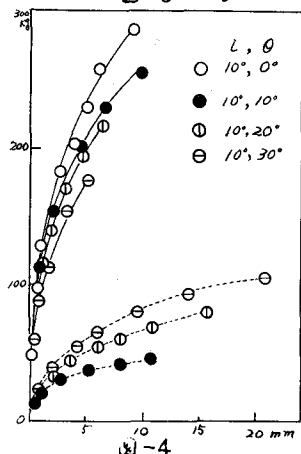


図-4

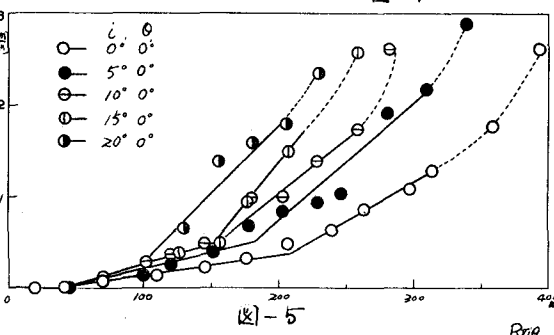


図-5

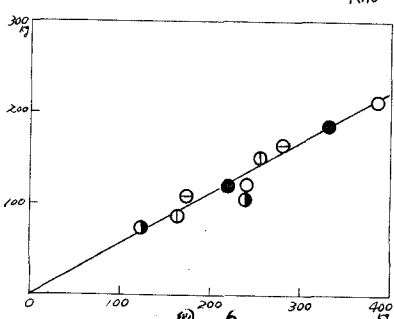


図-6